

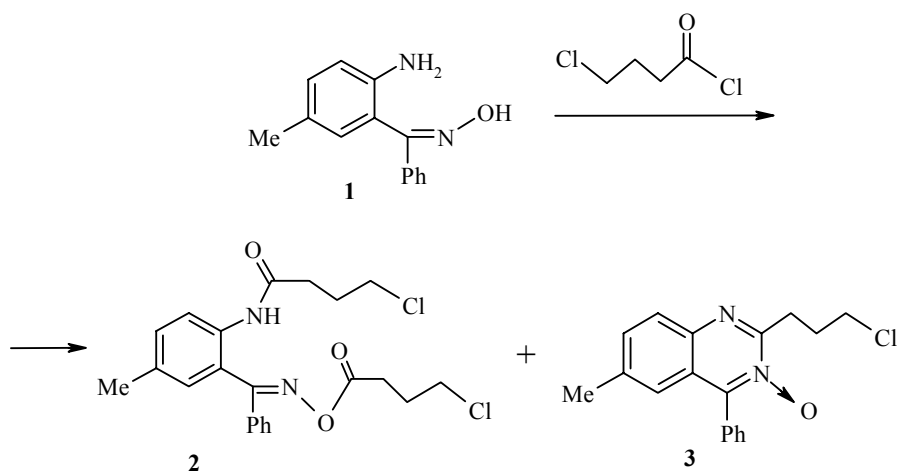
О. В. Куликов, А. В. Мазепа

СИНТЕЗ,
КРИСТАЛЛИЧЕСКАЯ И МОЛЕКУЛЯРНАЯ СТРУКТУРА
6-МЕТИЛ-4-ФЕНИЛ-2-(3-ХЛОРПРОПИЛ)ХИНАЗОЛИН-3-ОКСИДА

Ацилированием *син*-изомера оксима 2-амино-5-метилбензофенона 4-хлорбутирилхлоридом получена смесь *анти*-изомера 4-хлорбутилоксимины 5-метил-2-(4-хлорбутирил)аминофенона и 6-метил-4-фенил-2-(3-хлорпропил)хиназолин-3-оксида. Кристаллическая и молекулярная структура последнего установлена методом РСА. Молекула имеет плоскую форму. Обсуждаются особенности фрагментации под действием электронного удара для 6-метил-4-фенил-2-(3-хлорпропил)хиназолин-3-оксида.

Ключевые слова: хиназолин, масс-спектрометрия, РСА.

Изучение реакций ацилирования оксимов 2-аминофенононов различными ацилирующими агентами (хлорацетилхлорид, 3-хлорпропионилхлорид) представляет значительный интерес, поскольку их ацильные производные, как было нами показано ранее [1–3], являются ценными интермедиатами при синтезе 16- и 18-членных дифенилдиоксатетраазамакрогоетероциклов. В рамках данного исследования, с целью получения промежуточных веществ для синтеза 20-членных макрогетероциклов, мы изучили ацилирование *син*-изомера оксима 2-амино-5-метилбензофенона (**1**) 4-хлорбутирилхлоридом. Было установлено, что в отсутствие основания и при избытке ацилирующего агента помимо *анти*-изомера 4-хлорбутилоксимины 5-метил-2-(4-хлорбутирил)аминофенона (**2**) происходит образование 6-метил-4-фенил-2-(3-хлорпропил)хиназолин-3-оксида (**3**).



Механизм процесса образования хиназолина **3** в рамках настоящей

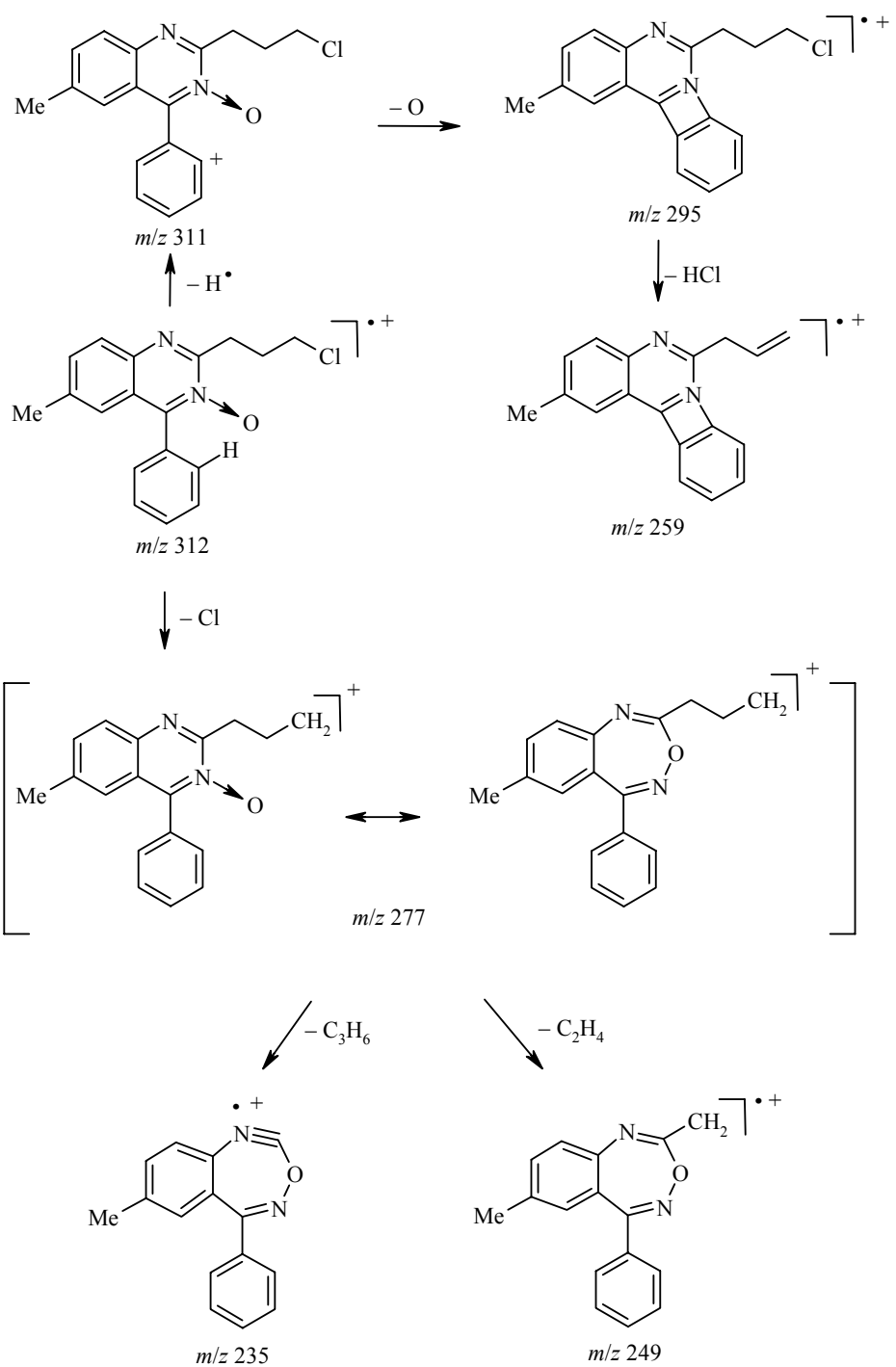
работы специально не изучался. Очевидно, данное превращение аналогично описанному в литературе ацилированию оксимов 2-аминобензофенонов хлорацетилхлоридом, в результате которого образуются 4-фенил-2-хлорметилхиназолин-3-оксиды [4].

Вопросы масс-спектрометрии хиназолинов рассмотрены в ряде публикаций [5–10]. Как было показано нами ранее, первичные направления распада молекулярных ионов хиназолин-3-оксидов [5] сопровождаются элиминированием метильного заместителя или атома кислорода и только после этого происходит расщепление гетероарильного цикла. При этом пики молекулярных ионов в масс-спектрах этих соединений имеют значительную интенсивность. В противоположность этому, молекулярный ион соединения **3** обладает низкой устойчивостью к электронному удару (интенсивность пика M^+ составляет 1.5%). Его фрагментация, по-видимому, протекает по двум альтернативным направлениям, что может быть представлено схемой.

Как видно из приведенной схемы, одно из предполагаемых направлений фрагментации обусловлено элиминированием атома водорода из *ортого*-положения фенильного заместителя* (ион 311, 1.6%). Интенсивное образование ионов $[M-H]^+$ по аналогичному механизму наблюдается для 4-фенилхиназолин-2-онов [6]. Последующий выброс атома кислорода приводит к образованию иона, имеющего, вероятно, азетидиновую структуру (ион 295, 84.4%) и только после этого наблюдается фрагментация заместителя в положении 2, сопровождаемая элиминированием молекулы HCl. Альтернативное направление фрагментации не приводит к выбросу атома кислорода, а сопровождается распадом 3-хлорпропильного заместителя. Элиминирование атома хлора приводит к образованию иона 277, пик которого обладает максимальной интенсивностью в масс-спектре. Отсутствие отщепления атома кислорода позволяет предположить его участие в реакции расширения хиназолинового цикла. Изменение способа ионизации не приводит к изменению характера фрагментации. В масс-спектре FAB изученного соединения наблюдается интенсивный пик ионов $[M+H]^+$, обладающий максимальной интенсивностью, а также осколочные ионы 295 (27.2%) и 277 (20.0%).

Мы установили [3], что для ИК спектров *син*-изомеров ацильных производных оксимов характеристичным является наличие полосы в области 3390–3400 cm^{-1} , соответствующей поглощению связи NH свободной амидной группы, в то время как в ИК спектрах соответствующих *анти*-изомеров полоса в этой области отсутствует. Отсутствие этой полосы в ИК спектре соединения **2** в области, характерной для *син*-изомеров, позволяет предположить, что диацильное производное оксима **2** является *анти*-изомером. Изомеризация оксима **2** в ходе реакции ацилирования может быть предположительно объяснена кислой реакционной средой (по аналогии с изомеризацией *син*-изомеров оксимов 2-амино-бензофенонов при их ацилировании 3-хлорпропионилхлоридом в отсутствие основания [3]).

* Здесь и далее для пиков ионов приведены значения m/z ($I_{\text{отн.}}, \%$).



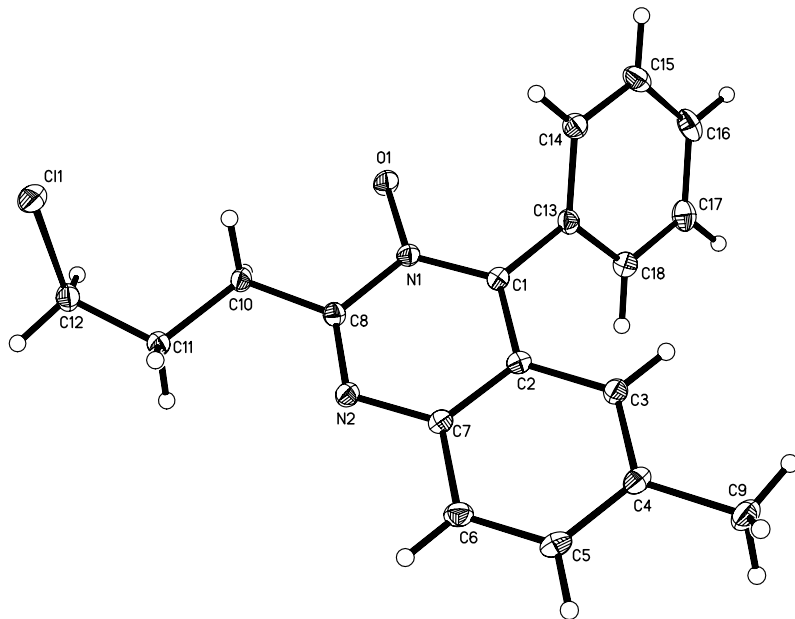


Рис. 1. Молекулярная структура соединения 3

Ранее нами были изучены структурные особенности некоторых хиназолин-3-оксидов [11]. В соответствии с данными РСА, в молекуле соединения 3 (рис. 1) фенильный заместитель образует с плоским хиназолиновым циклом двугранный угол, равный 57.6° , атомы $C_{(10)}$ и $C_{(11)}$ также располагаются в этой плоскости. Геометрические параметры молекулы имеют стандартные значения, за исключением параметров с участием атома $N_{(1)}$. Длины связей представлены в табл. 1, валентные и торсионные углы в табл. 2. Сопоставление полученных данных с описанными

Таблица 1

Некоторые длины связей (l) в структуре соединения 3

| Связь | $l, \text{\AA}$ | Связь | $l, \text{\AA}$ | Связь | $l, \text{\AA}$ |
|-----------------------------------|-----------------|-----------------------------------|-----------------|-----------------------------------|-----------------|
| $\text{Cl}_{(1)}-\text{C}_{(12)}$ | 1.8118(12) | $\text{C}_{(14)}-\text{C}_{(15)}$ | 1.3880(15) | $\text{C}_{(7)}-\text{C}_{(6)}$ | 1.4132(14) |
| $\text{O}_{(1)}-\text{N}_{(1)}$ | 1.2970(11) | $\text{C}_{(14)}-\text{C}_{(13)}$ | 1.3992(14) | $\text{C}_{(6)}-\text{C}_{(5)}$ | 1.3737(15) |
| $\text{N}_{(1)}-\text{C}_{(1)}$ | 1.3500(13) | $\text{C}_{(10)}-\text{C}_{(8)}$ | 1.4906(14) | $\text{C}_{(18)}-\text{C}_{(17)}$ | 1.3908(15) |
| $\text{N}_{(1)}-\text{C}_{(8)}$ | 1.4168(13) | $\text{C}_{(2)}-\text{C}_{(7)}$ | 1.4135(14) | $\text{C}_{(16)}-\text{C}_{(17)}$ | 1.3890(16) |
| $\text{N}_{(2)}-\text{C}_{(8)}$ | 1.2983(13) | $\text{C}_{(2)}-\text{C}_{(3)}$ | 1.4179(14) | $\text{C}_{(16)}-\text{C}_{(15)}$ | 1.3935(17) |
| $\text{N}_{(2)}-\text{C}_{(7)}$ | 1.3755(13) | $\text{C}_{(2)}-\text{C}_{(1)}$ | 1.4214(14) | $\text{C}_{(3)}-\text{C}_{(4)}$ | 1.3784(14) |
| $\text{C}_{(11)}-\text{C}_{(12)}$ | 1.5173(14) | $\text{C}_{(13)}-\text{C}_{(18)}$ | 1.3973(15) | $\text{C}_{(4)}-\text{C}_{(5)}$ | 1.4171(15) |
| $\text{C}_{(11)}-\text{C}_{(10)}$ | 1.5220(14) | $\text{C}_{(13)}-\text{C}_{(1)}$ | 1.4821(14) | $\text{C}_{(4)}-\text{C}_{(9)}$ | 1.5049(15) |

Таблица 2

Валентные (ω) и торсионные (ϕ) углы в структуре соединения 3

| Угол | ω , град. | Угол | ϕ , град. |
|---|------------------|--|----------------|
| O ₍₁₎ —N ₍₁₎ —C ₍₁₎ | 122.24(9) | C ₍₁₂₎ —C ₍₁₁₎ —C ₍₁₀₎ —C ₍₈₎ | 173.50(9) |
| O ₍₁₎ —N ₍₁₎ —C ₍₈₎ | 117.13(8) | C ₍₁₅₎ —C ₍₁₄₎ —C ₍₁₃₎ —C ₍₁₈₎ | 1.04(15) |
| C ₍₁₎ —N ₍₁₎ —C ₍₈₎ | 120.60(9) | C ₍₁₅₎ —C ₍₁₄₎ —C ₍₁₃₎ —C ₍₁₎ | -176.95(10) |
| C ₍₈₎ —N ₍₂₎ —C ₍₇₎ | 118.72(9) | C ₍₇₎ —N ₍₂₎ —C ₍₈₎ —N ₍₁₎ | 1.42(15) |
| C ₍₁₂₎ —C ₍₁₁₎ —C ₍₁₀₎ | 110.72(8) | C ₍₇₎ —N ₍₂₎ —C ₍₈₎ —C ₍₁₀₎ | -179.25(9) |
| C ₍₁₅₎ —C ₍₁₄₎ —C ₍₁₃₎ | 120.00(10) | O ₍₁₎ —N ₍₁₎ —C ₍₈₎ —N ₍₂₎ | 179.37(9) |
| C ₍₈₎ —C ₍₁₀₎ —C ₍₁₁₎ | 114.67(8) | C ₍₁₎ —N ₍₁₎ —C ₍₈₎ —N ₍₂₎ | 1.57(15) |
| C ₍₇₎ —C ₍₂₎ —C ₍₃₎ | 119.21(9) | O ₍₁₎ —N ₍₁₎ —C ₍₈₎ —C ₍₁₀₎ | -0.02(13) |
| C ₍₇₎ —C ₍₂₎ —C ₍₁₎ | 118.15(9) | C ₍₁₎ —N ₍₁₎ —C ₍₈₎ —C ₍₁₀₎ | -177.82(9) |
| C ₍₃₎ —C ₍₂₎ —C ₍₁₎ | 122.64(9) | C ₍₁₁₎ —C ₍₁₀₎ —C ₍₈₎ —N ₍₂₎ | -0.67(14) |
| C ₍₁₈₎ —C ₍₁₃₎ —C ₍₁₄₎ | 119.56(10) | C ₍₁₁₎ —C ₍₁₀₎ —C ₍₈₎ —N ₍₁₎ | 178.71(8) |
| C ₍₁₈₎ —C ₍₁₃₎ —C ₍₁₎ | 118.29(9) | O ₍₁₎ —N ₍₁₎ —C ₍₁₎ —C ₍₂₎ | 177.68(9) |
| C ₍₁₄₎ —C ₍₁₃₎ —C ₍₁₎ | 122.12(9) | C ₍₈₎ —N ₍₁₎ —C ₍₁₎ —C ₍₂₎ | -4.63(14) |
| N ₍₂₎ —C ₍₈₎ —N ₍₁₎ | 122.71(9) | O ₍₁₎ —N ₍₁₎ —C ₍₁₎ —C ₍₁₃₎ | -5.52(14) |
| N ₍₂₎ —C ₍₈₎ —C ₍₁₀₎ | 123.43(9) | C ₍₈₎ —N ₍₁₎ —C ₍₁₎ —C ₍₁₃₎ | 172.17(9) |
| N ₍₁₎ —C ₍₈₎ —C ₍₁₀₎ | 113.86(8) | C ₍₇₎ —C ₍₂₎ —C ₍₁₎ —N ₍₁₎ | 4.77(14) |
| N ₍₁₎ —C ₍₁₎ —C ₍₂₎ | 118.03(9) | C ₍₃₎ —C ₍₂₎ —C ₍₁₎ —N ₍₁₎ | -174.32(9) |
| N ₍₁₎ —C ₍₁₎ —C ₍₁₃₎ | 117.94(9) | C ₍₇₎ —C ₍₂₎ —C ₍₁₎ —C ₍₁₃₎ | -171.83(9) |
| C ₍₂₎ —C ₍₁₎ —C ₍₁₃₎ | 123.94(9) | C ₍₃₎ —C ₍₂₎ —C ₍₁₎ —C ₍₁₃₎ | 9.08(16) |
| N ₍₂₎ —C ₍₇₎ —C ₍₆₎ | 118.98(9) | C ₍₁₈₎ —C ₍₁₃₎ —C ₍₁₎ —N ₍₁₎ | -122.01(11) |
| N ₍₂₎ —C ₍₇₎ —C ₍₂₎ | 121.62(9) | C ₍₁₄₎ —C ₍₁₃₎ —C ₍₁₎ —N ₍₁₎ | 56.00(13) |
| C ₍₆₎ —C ₍₇₎ —C ₍₂₎ | 119.40(9) | C ₍₁₈₎ —C ₍₁₃₎ —C ₍₁₎ —C ₍₂₎ | 54.59(14) |
| C ₍₅₎ —C ₍₆₎ —C ₍₇₎ | 119.93(10) | C ₍₁₄₎ —C ₍₁₃₎ —C ₍₁₎ —C ₍₂₎ | -127.40(11) |
| C ₍₁₇₎ —C ₍₁₈₎ —C ₍₁₃₎ | 120.08(10) | C ₍₈₎ —N ₍₂₎ —C ₍₇₎ —C ₍₆₎ | 179.33(9) |
| C ₍₁₁₎ —C ₍₁₂₎ —Cl ₍₁₎ | 110.97(8) | C ₍₈₎ —N ₍₂₎ —C ₍₇₎ —C ₍₂₎ | -1.14(15) |
| C ₍₁₇₎ —C ₍₁₆₎ —C ₍₁₅₎ | 119.86(10) | C ₍₃₎ —C ₍₂₎ —C ₍₇₎ —N ₍₂₎ | 177.16(9) |
| C ₍₁₆₎ —C ₍₁₇₎ —C ₍₁₈₎ | 120.20(10) | C ₍₁₎ —C ₍₂₎ —C ₍₇₎ —N ₍₂₎ | -1.96(15) |
| C ₍₁₄₎ —C ₍₁₅₎ —C ₍₁₆₎ | 120.26(10) | C ₍₃₎ —C ₍₂₎ —C ₍₇₎ —C ₍₆₎ | -3.30(15) |
| C ₍₄₎ —C ₍₃₎ —C ₍₂₎ | 121.05(10) | C ₍₁₎ —C ₍₂₎ —C ₍₇₎ —C ₍₆₎ | 177.57(9) |
| C ₍₃₎ —C ₍₄₎ —C ₍₅₎ | 118.82(10) | N ₍₂₎ —C ₍₇₎ —C ₍₆₎ —C ₍₅₎ | -178.59(9) |
| C ₍₃₎ —C ₍₄₎ —C ₍₉₎ | 121.47(10) | C ₍₂₎ —C ₍₇₎ —C ₍₆₎ —C ₍₅₎ | 1.86(15) |
| C ₍₅₎ —C ₍₄₎ —C ₍₉₎ | 119.71(10) | C ₍₁₄₎ —C ₍₁₃₎ —C ₍₁₈₎ —C ₍₁₇₎ | -0.93(15) |
| C ₍₆₎ —C ₍₅₎ —C ₍₄₎ | 121.50(10) | C ₍₁₎ —C ₍₁₃₎ —C ₍₁₈₎ —C ₍₁₇₎ | 177.14(9) |
| | | C ₍₁₀₎ —C ₍₁₁₎ —C ₍₁₂₎ —Cl ₍₁₎ | -71.14(10) |
| | | C ₍₁₅₎ —C ₍₁₆₎ —C ₍₁₇₎ —C ₍₁₈₎ | 1.56(17) |
| | | C ₍₁₃₎ —C ₍₁₈₎ —C ₍₁₇₎ —C ₍₁₆₎ | -0.37(16) |
| | | C ₍₁₃₎ —C ₍₁₄₎ —C ₍₁₅₎ —C ₍₁₆₎ | 0.14(16) |
| | | C ₍₁₇₎ —C ₍₁₆₎ —C ₍₁₅₎ —C ₍₁₄₎ | -1.44(17) |
| | | C ₍₇₎ —C ₍₂₎ —C ₍₃₎ —C ₍₄₎ | 1.97(15) |
| | | C ₍₁₎ —C ₍₂₎ —C ₍₃₎ —C ₍₄₎ | -178.95(9) |
| | | C ₍₂₎ —C ₍₃₎ —C ₍₄₎ —C ₍₅₎ | 0.81(15) |
| | | C ₍₂₎ —C ₍₃₎ —C ₍₄₎ —C ₍₉₎ | -179.92(9) |
| | | C ₍₇₎ —C ₍₆₎ —C ₍₅₎ —C ₍₄₎ | 0.97(16) |
| | | C ₍₃₎ —C ₍₄₎ —C ₍₅₎ —C ₍₆₎ | -2.32(16) |
| | | C ₍₉₎ —C ₍₄₎ —C ₍₅₎ —C ₍₆₎ | 178.40(10) |

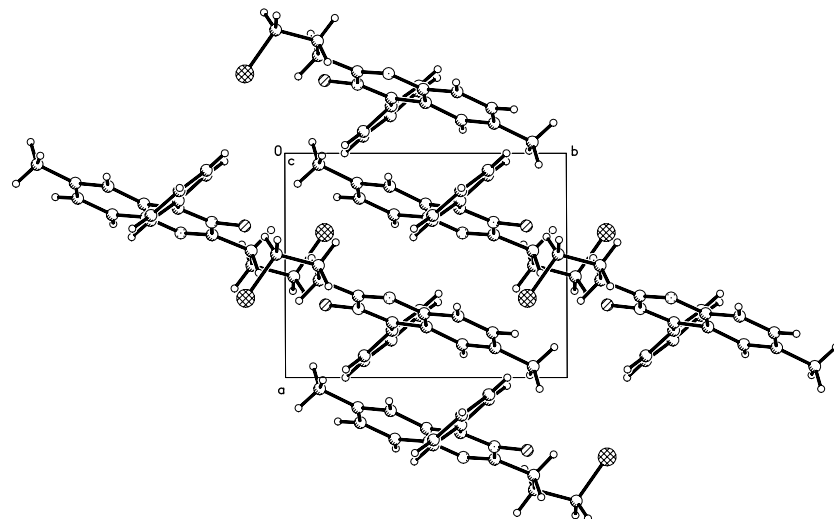
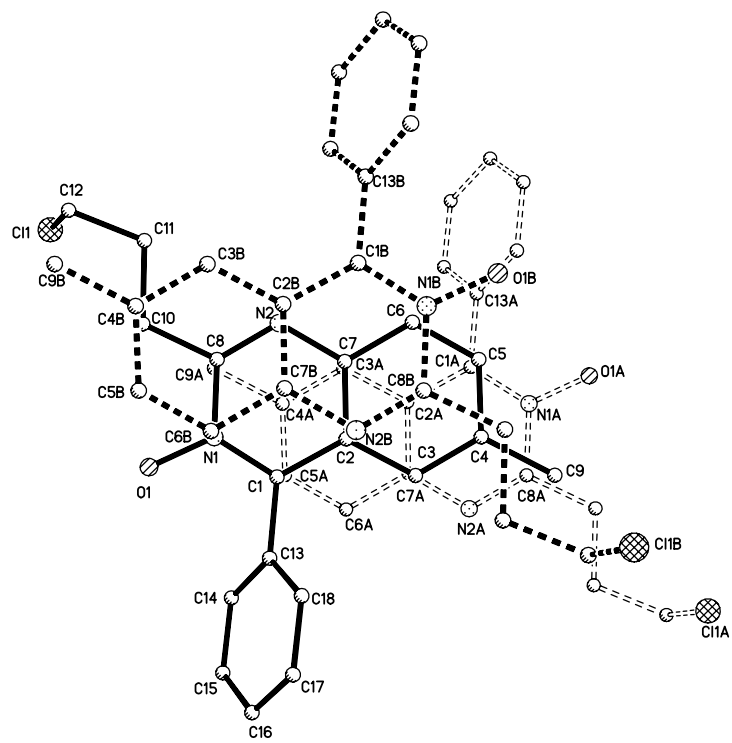


Рис. 2. Упаковка молекул соединения 3 в кристалле

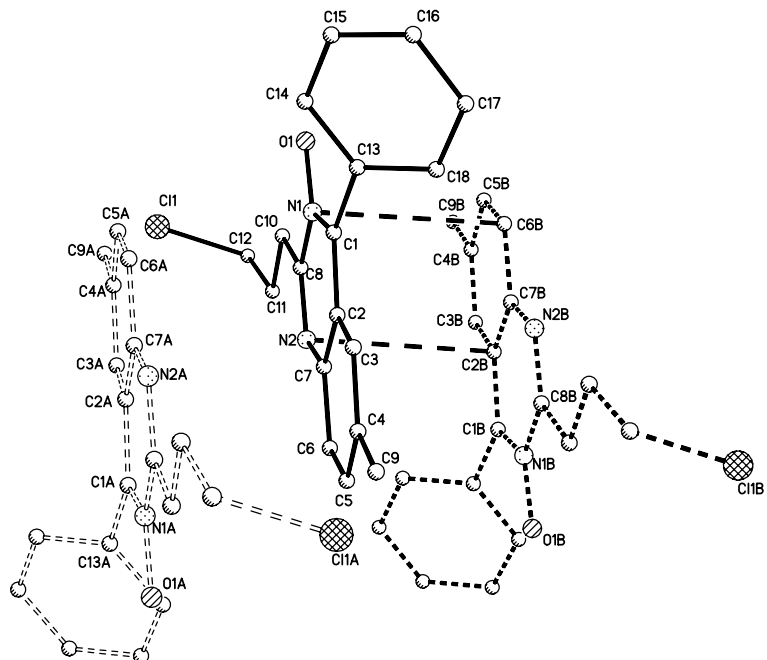
в литературе 6-изопропил-2,4-дифенилхиназолином [12] и макроциклом, содержащим хиназолиновые фрагменты [13], позволяет говорить о том, что наличие N-оксидного атома $O_{(1)}$ приводит к увеличению длины связей $N_{(1)}-C_{(1)}$ и $N_{(1)}-C_{(8)}$, увеличению угла $C_{(1)}-N_{(1)}-C_{(8)}$ и уменьшению угла $N_{(1)}-C_{(8)}-N_{(2)}$ по сравнению с молекулами, описанными в работах [12, 13].

Упаковка молекул в кристалле представлена на рис. 2. Особенность упаковки молекул заключается в образовании стопок, параллельных оси a . В стопках наблюдается стекинг-взаимодействие между параллельными ароматическими хиназолиновыми системами, при этом отчетливо проявляется димеризация молекул: расстояние между плоскостями равно 3.578 и 3.455 Å. Наложение ароматических систем основной молекулы (**O**) и молекул **A** ($-x, -y-1, 1-z$) и **B** ($1-x, -y-1, 1-z$) в стопке представлено на рис. 3a,b. Из рис. 3a видно, что характер перекрывания хиназолиновых систем в "димерах" {**O–B**} отличается от перекрывания молекул **O–A**.

Хотя площадь перекрытия систем одинакова в обеих парах молекул (**O–A** и **O–B**), но молекула **B** смешена таким образом, что под атомом $C_{(8)}$ основной молекулы располагается центр бензольного кольца молекулы **B**, а в паре **O–A** находится метильная группа (атом $C_{(9A)}$). Рис. 3b демонстрирует различное смещение молекул **A** и **B** относительно центральной молекулы. Кратчайшие межатомные расстояния в "димере" $N_{(1)}...C_{(6B)}$ (3.460) и $N_{(2)}...C_{(2B)}$ (3.457 Å), между "димерами" – $C_{(1)}...C_{(5A)}$ (3.649) и $C_{(7)}...C_{(3A)}$ (3.565 Å).



a



b

Рис. 3. Расположение молекул соединения 3 в стопке (*a, b*)

ЭКСПЕРИМЕНТАЛЬНАЯ ЧАСТЬ

ИК спектры записаны на приборе Specord IR-75 в растворе CHCl_3 , УФ спектры – на спектрофотометре СФ-56 в спирте при концентрациях $3 \cdot 10^{-5}$ моль/л, при толщине слоя 10 мм. Масс-спектры зарегистрированы на масс-спектрометре MX-1321 (с использованием прямого ввода образца в источник ионов, при энергии ионизирующих электронов 70 эВ, температура камеры ионизации 150 °C), а также на масс-спектрометре VG 70-70 EQ (ионизация осуществлялась пучком атомов аргона с энергией 10 кВ). Спектры ЯМР ^1H получены на спектрометре Varian VXR-300 (300 МГц), растворитель DMSO-d_6 , внутренний стандарт ТМС.

син-Изомер оксима 2-амино-5-метилбензофенона (**1**) получают, как описано в [5].

4-Хлорбутирилоксимиин 5-метил-2-(4-хлорбутирил)аминобензофенона (анти-изомер) (2**) и 2-(3-хлорпропил)-6-метил-4-фенилхиназолин-3-оксид (**3**).** К раствору 10 г (0.044 моль) соединения **1** в 70 мл 1,4-диоксана прибавляют по каплям при перемешивании и охлаждении (<10 °C) раствор 10 мл (0.089 моль) 4-хлорбутирилхлорида в 10 мл 1,4-диоксана, перемешивают 3 ч, выливают в воду и экстрагируют CHCl_3 . Хлороформный экстракт упаривают. Оранжевый маслообразный остаток продукта перекристаллизовывают из бензола, получают 2.29 г (33%) хиназолин-3-оксида **3**, т. пл. 140–144 °C. УФ спектр (EtOH), λ_{\max} ($\lg \epsilon$), нм: 232 (4.08), 261 (4.27), 312 (3.64), 355 (3.57). Масс-спектр, m/z : 312 [$\text{M}]^+$. ИК спектр, ν , cm^{-1} : 2985 (CH), 1600 (C=N), 1300 (N–O). Спектр ЯМР ^1H , δ , м. д. (J , Гц): 7.86–7.09 (8H, м, Ar–H); 3.82 (2H, т, J = 6.7, CH_2Cl); 3.25 (2H, т, J = 7.2, N=C– CH_2); 2.40 (3H, с, CH_3); 2.36 (2H, кв, J = 7.0, $\text{CH}_2\text{—CH}_2\text{—CH}_2$). Маточный раствор пропускают через колонку с силикагелем, используя бензол в качестве элюента. Выход соединения **2** составляет 2.84 г (30%) (масло). УФ спектр (EtOH), λ_{\max} ($\lg \epsilon$), нм: 239 (4.38), 323 (3.52). Масс-спектр (FAB), m/z : 434 [$\text{M}]^+$. ИК спектр, ν , cm^{-1} : 3265 (NH), 2945 (CH), 1745 (O=C=O), 1675 (NH–C=O), 1595 (C=N). Спектр ЯМР ^1H , δ , м. д. (J , Гц): 10.19 (1H, с, NH); 7.85–6.94 (8H, м, Ar–H); 3.58 (2H, т, J = 6.5, $\text{NHCO—CH}_2\text{—CH}_2\text{—CH}_2\text{Cl}$); 3.55 (2H, т, J = 6.5, OCO– $\text{CH}_2\text{—CH}_2\text{—CH}_2\text{Cl}$); 2.53 (2H, т, J = 7.2, NHCO—CH_2); 2.30 (2H, т, J = 7.2, OCO– CH_2); 2.25 (3H, с, CH_3); 1.99 (2H, кв, J = 6.9, $\text{NHCO—CH}_2\text{—CH}_2\text{—CH}_2$); 1.91 (2H, кв, J = 6.9, OCO– $\text{CH}_2\text{—CH}_2\text{—CH}_2$).

Рентгеноструктурное исследование. Кристаллы соединения **3**, выращенные в бензоле, триклинические. При 100(2) K: a = 7.5514(3), b = 9.5772(4), c = 10.5746(5) Å, V = 752.19(6) Å³, $d_{\text{выч}}^{\text{1}}$ = 1.381 г/см³, пространственная группа $P-1$, M_f = 312.79, Z = 2, длина волны 0.71073 Å; $F(000)$ 328; α = 81.0500(10), β = 84.6750(10), γ = 88.9510(10)°; GOOF 1.000. θ_{\max} = 30°. Диапазон индексов: $-10 \leq h \leq 10$; $-13 \leq k \leq 13$; $-14 \leq l \leq 14$; число измеренных рефлексов 9804, число независимых рефлексов 4353 (R_{int} = 0.0214). R -фактор ($I > 2\sigma(I)$): R_1 = 0.0355, wR_2 = 0.0889; R -фактор (по всему массиву): R_1 = 0.0430, wR_2 = 0.0941. $\Delta\rho_{\text{max}}$ 0.388, $\Delta\rho_{\text{min}}$ -0.279 eÅ⁻³.

Параметры элементарной ячейки и экспериментальный материал для исследованного соединения получены на дифрактометре Bruker SMART APEX2 CCD на монохроматизированном (графитовый монохроматор) MoKa-излучении. Структура расшифрована прямым методом и уточнена по F^2 полноматричным МНК в анизотропном приближении для неводородных атомов по комплексу программ SHELLXTL-98 [14]. Положения атомов водорода рассчитаны геометрически.

Координаты неводородных атомов и их эквивалентные изотропные тепловые параметры для соединения **3** можно получить у авторов (e-mail: wizard@homei.net.ua).

*Авторы считают своим долгом выразить признательность З. А. Старицкой (ЦРСИ, ИНЭОС РАН, Москва) за рентгеноструктурный анализ соединения **3**.*

С П И С О К Л И Т Е Р А Т У Р Ы

1. О. В. Куліков, С. А. Андронаті, В. І. Павловський, О. В. Мазепа, Т. А. Кабанова, *Вісник ОНУ*, **5**, № 2, 68 (2000).
2. V. I. Pavlovsky, O. V. Kulikov, in *Selected Methods for Synthesis and Modification of Heterocycles*, V. G. Kartsev (Ed.), IBS Press, Moscow, 2002, vol. 1, p. 542.
3. С. А. Андронаті, Ю. А. Симонов, В. І. Павловский, О. В. Куликов, М. Гданец, А. В. Мазепа, *ЖОХ*, **75**, 969 (2005).
4. L. H. Sternbach, E. Reeder, O. Keller, W. Metlesics, *J. Org. Chem.*, **26**, 4488 (1961).
5. В. І. Павловский, О. В. Куликов, Т. Л. Карасёва, Т. А. Кабанова, А. В. Мазепа, С. А. Андронаті, *Укр. хим. журн.*, **64**, 123 (1998).
6. Г. І. Гордійчук, С. А. Андронаті, Т. А. Воронина, Н. Х. Рахманкулова, П. Б. Терентьев, П. А. Шарбатян, А. С. Яворський, в кн. *Физиологически активные вещества*, Наукова думка, Київ, 1982, вып. 14, с. 36.
7. Е. В. Громачевская, Е. А. Кайгородова, С. И. Фирганг, Г. Д. Крапивин, *XGC*, 1222 (2005). [*Chem. Heterocycl. Comp.*, **41**, 1045 (2005)].
8. О. В. Куликов, В. І. Павловский, А. В. Мазепа, С. А. Андронаті, *XGC*, 566 (2003). [*Chem. Heterocycl. Comp.*, **39**, 485 (2003)].
9. C. Bogentoft, B. Danielsson, *J. Heterocycl. Chem.*, **9**, 193 (1972).
10. M. Ferrugia, M. L. Bajardi, L. Ceraulo, S. Plescia, *J. Heterocycl. Chem.*, **29**, 565 (1992).
11. О. В. Куликов, И. Г. Филиппова, М. Гданец, В. І. Павловский, Ю. А. Симонов, *Журн. структур. химии*, **47**, 346 (2006).
12. D. Hunter, D. G. Neilson, T. J. R. Weakley, *J. Chem. Soc., Perkin Trans. 1*, 2709 (1985).
13. С. В. Линдеман, В. Е. Шкловер, Ю. Т. Стручков, И. И. Пономарев, С. А. Салинг, *Ізв. АН ССР, Сер. хим.*, 1637 (1986).
14. G. M. Sheldrick, *SHELXTL PLUS. PC Version. A System of Computer Programs for the Determination of Crystal Structure from X-ray Diffraction Data*. Ver. 5.1. (1998).

Физико-химический институт
им. А. В. Богатского НАН Украины,
Одесса 65080
e-mail: wizard@homei.net.ua

Поступило 30.08.2006